

Εργαστήριο Κατεύθυνσης Συμπυκνωμένης Ύλης



HELLENIC REPUBLIC

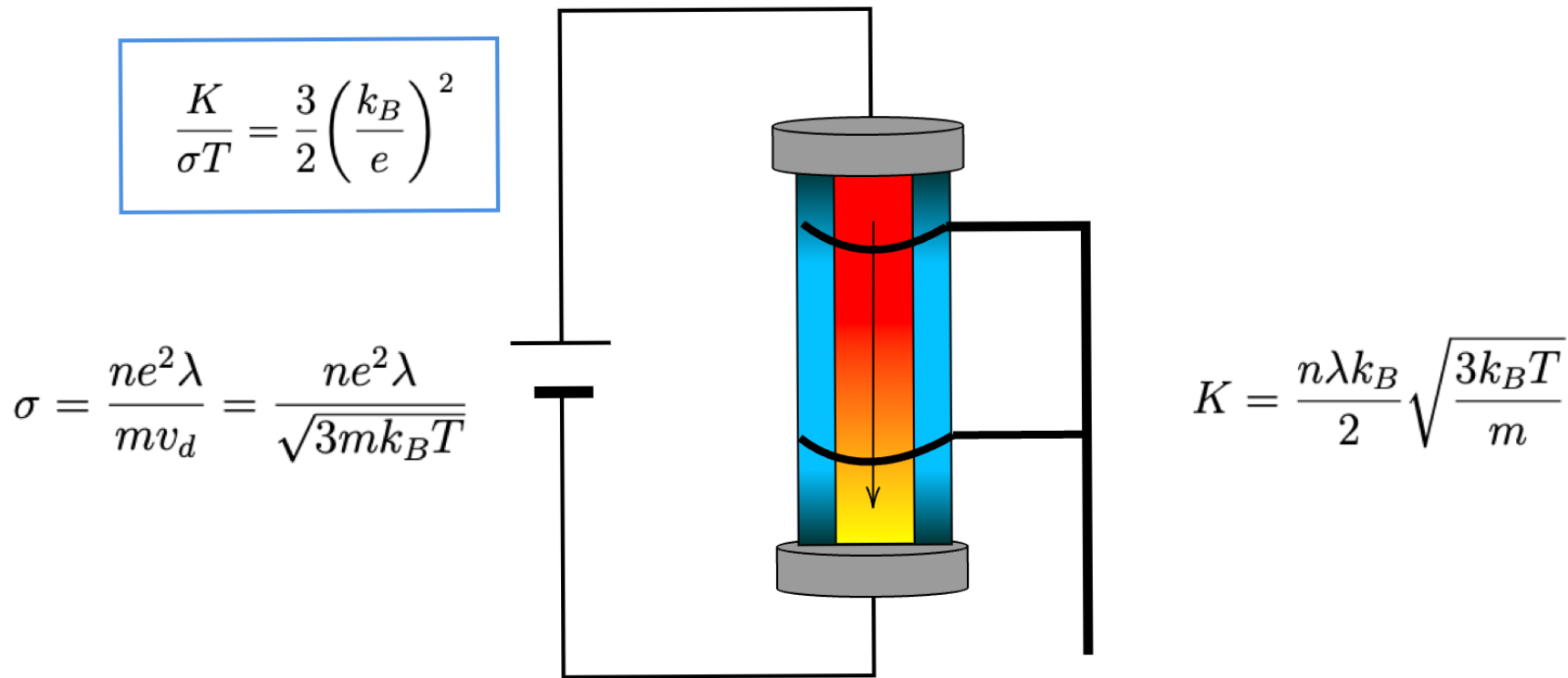
**National and Kapodistrian
University of Athens**

— EST. 1837 —

Βαγγέλης Θάνος | Ευριπίδης Καλλή | Ιάσων Καζάζης

Πείραμα 2β

Σχέση Ηλεκτρικής και Θερμικής Αγωγιμότητας στα Μέταλλα





Εισαγωγή

Θεωρία

- ❖ Θερμική αγωγιμότητα
- ❖ Ηλεκτρική αγωγιμότητα

Σκοπός

Διάταξη

- ❖ Θερμική
- ❖ Ηλεκτρική

Πειραματικά Δεδομένα

Ανάλυση

- ❖ Αποτελέσματα
- ❖ Σφάλματα

Σχολιασμός

Περιεχόμενα

1. Θεωρία πειράματος.

- 1.1 Κβαντική προσέγγιση της θερμικής αγωγιμότητας..... 5
- 1.2 Κβαντική προσέγγιση της ηλεκτρικής αγωγιμότητας..... 8

2. Σκοπός του πειράματος.

3. Πειραματική Διάταξη.

- 3.1 Πείραμα Θερμικής Αγωγιμότητας..... 11
- 3.2 Πείραμα Ηλεκτρικής Αγωγιμότητας..... 12

4. Πειραματικά Δεδομένα.

5. Ανάλυση Πειράματος.

- 5.1 Αποτελέσματα και Υπολογισμοί..... 15
- 5.2 Σφάλματα από διάδοση 23

6. Σχολιασμός και Συμπεράσματα.

7. Παράρτημα.

8. Βιβλιογραφία.



Εισαγωγή

Κατά την διάρκεια αυτής της άσκησης θα ερευνήσουμε με ποιο τρόπο συμπεριφέρονται τα ελεύθερα ηλεκτρόνια στα μέταλλα όταν υπάρχει κάποια διαφορά θερμοκρασίας ή μια κίνηση φορτίου (ηλεκτρικό ρεύμα) κατά μήκος του υλικού. Στα μέταλλα οι κινήσεις των ηλεκτρονίων μεταφράζονται από το μοντέλο του Sommerfeld το οποίο περιγράφεται μέσω στατιστικής Fermi-Dirac.

Εισαγωγή

Θεωρία

- ❖ Θερμική αγωγιμότητα
- ❖ Ηλεκτρική αγωγιμότητα

Σκοπός

Διάταξη

- ❖ Θερμική
- ❖ Ηλεκτρική

Πειραματικά Δεδομένα

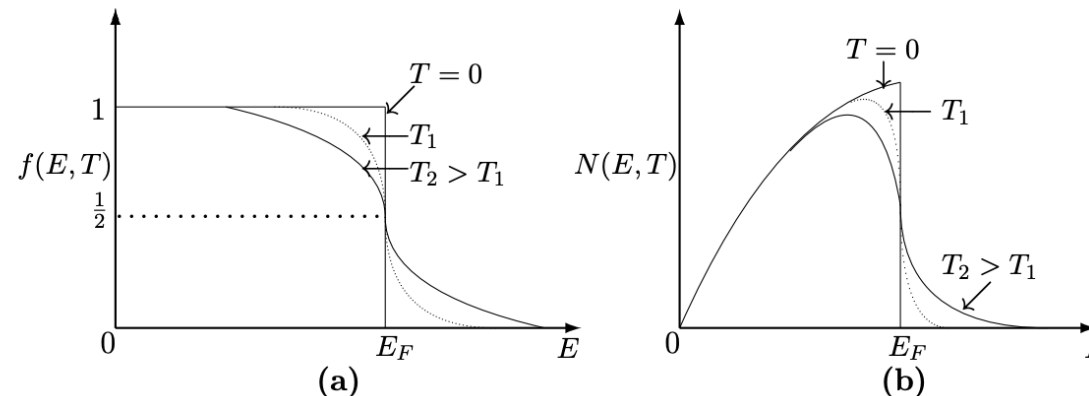
Ανάλυση

- ❖ Αποτελέσματα
- ❖ Σφάλματα

Σχολιασμός

Metal	Density of metal ρ (Kg/m ³)	Atomic weight M_A	No. of atoms per m ³ ($\rho N_A / M_A$)	Valency	Valence Electron density (n per m ³)	Fermi energy (E_F in eV)
Sodium	0.97×10^3	22.99	2.54×10^{28}	1	2.54×10^{28}	3.15
Copper	8.96×10^3	63.54	8.49×10^{28}	1	8.49×10^{28}	7.05
Silver	10.49×10^3	107.87	5.85×10^{28}	1	5.85×10^{28}	5.50
Gold	19.32×10^3	196.97	5.90×10^{28}	1	5.90×10^{28}	5.53
Magnesium	1.74×10^3	24.32	4.30×10^{28}	2	8.60×10^{28}	7.11
Aluminium	2.70×10^3	26.98	6.02×10^{28}	3	18.06×10^{28}	11.63

Metal	Crystal structure	Lattice constant in n.m.	Atomic density per m ³	Valency	Valence Electron density per m ³	Fermi energy in eV
Sodium	bcc	$a = 0.4281$	2.65×10^{28}	1	2.65×10^{28}	3.23
Copper	fcc	$a = 0.3615$	8.50×10^{28}	1	8.50×10^{28}	7.05
Silver	fcc	$a = 0.4086$	5.85×10^{28}	1	5.85×10^{28}	5.50
Gold	fcc	$a = 0.4080$	5.89×10^{28}	1	5.89×10^{28}	5.52
Magnesium	hcp	$\begin{cases} a = 0.3209 \\ c = 0.5210 \end{cases}$	4.30×10^{28}	2	8.60×10^{28}	7.12
Aluminium	fcc	$a = 0.4049$	6.02×10^{28}	3	18.06×10^{28}	11.63





Πείραμα 2β
6/6/2024

Θερμική αγωγιμότητα

Εισαγωγή

Θεωρία

- ❖ Θερμική αγωγιμότητα
- ❖ Ηλεκτρική αγωγιμότητα

Σκοπός

Διάταξη

- ❖ Θερμική
- ❖ Ηλεκτρική

Πειραματικά Δεδομένα

Ανάλυση

- ❖ Αποτελέσματα
- ❖ Σφάλματα

Σχολιασμός

Όταν ένα μέταλλο είναι προσαρμοσμένο ώστε να έχει μια μορφή δίπολου θερμοκρασίας, τα ηλεκτρόνια μεταφέρονται από την περιοχή ψηλών στην περιοχή χαμηλών θερμοκρασιών μέχρι να υπάρξει σταθερή ροή ενέργειας μεταξύ δυο σημείων με διαφορετικές θερμοκρασίες (μόνιμη κατάσταση).

Τα ηλεκτρόνια καθώς συγκρούονται με το πλέγμα αποκτούν ενέργεια ανάλογη με το πόσο θερμή είναι η περιοχή του πλέγματος που συγκρούονται ,

Άρα τα ηλεκτρόνια στη θερμή περιοχή

- Έχουν μεγαλύτερη ενέργεια από αυτά στην ψυχρή
- Έτσι δημιουργείται μια ροή ενέργειας από την ψυχρή προς την θερμή περιοχή.

Νόμο Fourier: Πυκνότητα θερμικού ρεύματος \vec{W} και λ : συντελεστής θερμικής αγωγιμότητας

Διάνυσμα παράλληλο προς την ροή θερμότητας (από ψηλές σε χαμηλές θερμοκρασίες),
Ίσου μέτρου με τη θερμική ενέργεια που περνάει από μια επιφάνεια ανά μονάδα χρόνου :

$$\vec{W} = -\lambda \nabla T$$



Πείραμα 2β
6/6/2024

Θερμική αγωγιμότητα

Μετά από μια αρκετά λεπτομερή ανάλυση στατιστική και μέσω της στατιστικής Fermi-Dirac παίρνουμε τον συντελεστή θερμικής αγωγιμότητας (n :συγκέντρωση ηλεκτρονίων τ : χρόνος αποκατάστασης):

$$\lambda = \frac{n\pi^2 k_B^2 T \tau}{3m} \text{ (Watts/m/K)}$$

Λύνοντας το πρόβλημα αυτό για μια μονοδιάστατη ράβδο μήκους L η εξίσωση διάχυσης για χρονικά σταθερό ρεύμα δίνει:

$$\frac{\partial T}{\partial z} = \text{const}$$

Αν στα όρια της ράβδου έχουμε θέσει θερμοκρασίες T_1 στο άνω άκρο και T_2 στο κάτω με $T_1 > T_2$ τότε:

$$\frac{\partial T}{\partial z} = \frac{T_2 - T_1}{L}$$

Και έτσι στην μόνιμη κατάσταση έχουμε την σταθερή θερμοβαθμίδα: $T(z) = \frac{T_2 - T_1}{L} z + T_1$

Εξισώνοντας με τον νόμο Fourier μπορούμε να εντοπίσουμε το ρεύμα θερμικής αγωγιμότητας :

$$\frac{\partial Q_{αγωγ}}{\partial t} = -\lambda A \frac{\partial T}{\partial z} = -\lambda A \frac{T_2 - T_1}{L}$$

Εισαγωγή

Θεωρία

❖ Θερμική
αγωγιμότητα

❖ Ηλεκτρική
αγωγιμότητα

Σκοπός

Διάταξη

❖ Θερμική
❖ Ηλεκτρική

Πειραματικά
Δεδομένα

Ανάλυση

❖ Αποτελέσματα
❖ Σφάλματα

Σχολιασμός



Πείραμα 2β
6/6/2024

Μεταβατικό Στάδιο

Εισαγωγή

Θεωρία

- ❖ Θερμική αγωγιμότητα
- ❖ Ηλεκτρική αγωγιμότητα

Σκοπός

Διάταξη

- ❖ Θερμική
- ❖ Ηλεκτρική

Πειραματικά Δεδομένα

Ανάλυση

- ❖ Αποτελέσματα
- ❖ Σφάλματα

Σχολιασμός

Σημειώνουμε ότι πειραματικά εμείς θέλουμε να υπολογίσουμε μόνο την θερμική αγωγιμότητα της ράβδου, έτσι από το ρεύμα αγωγιμότητας αφαιρούμε έναν όρο λόγω απώλειας ενέργειας από το περιβάλλον.

$$\frac{dQ_{αγωγ}}{dt} = \frac{\Delta Q_{ολ}}{\Delta t} - \frac{\Delta Q_{περιβ}}{\Delta t}$$

Μέχρι να καταλήξει το σύστημα σε αυτή την μόνιμη κατάσταση πρέπει πρώτα να περάσει ένα μεταβατικό στάδιο το οποίο είναι εμφανές από την ολική εξίσωση διάχυσης (ρ : πυκνότητα υλικού, c : ειδική θερμότητα του υλικού)

$$\frac{\partial T}{\partial t} = \frac{\lambda}{\rho c} \frac{\partial^2 T}{\partial z^2}$$

Η πιο πάνω διαφορική έχει λύση: $T(z, t) \cong \frac{T_2 - T_1}{L} z + e^{-m^2 t} \sin(mz)$

Παρατηρούμε ότι σε μεγάλους χρόνους ο δεύτερος όρος τείνει να μηδενιστεί και έτσι να έχουμε την μόνιμη κατάσταση

Από φυσικής άποψης οι μετατοπίσεις των ηλεκτρονίων από περιοχές ψηλής σε περιοχές χαμηλής συγκέντρωσης δημιουργούν μια κατανομή κατιόντων στο θερμό μέρος και μια κατανομή ηλεκτρονίων στο ψυχρό μέρος της ράβδου. Άρα έχουμε μια διαφορά τάσης ανάμεσα στα δυο άκρα.



Πείραμα 2β
6/6/2024

Βασικοί Υπολογισμοί

Εισαγωγή

Θεωρία

- ❖ Θερμική αγωγιμότητα
- ❖ Ηλεκτρική αγωγιμότητα

Σκοπός

Διάταξη

- ❖ Θερμική
- ❖ Ηλεκτρική

Πειραματικά Δεδομένα

Ανάλυση

- ❖ Αποτελέσματα
- ❖ Σφάλματα

Σχολιασμός

- Το σταθερό ρεύμα θερμικής ενέργειας κατά τη μόνιμη κατάσταση:

$$\frac{dQ_{αγωγ}}{dt} = \lambda \cdot A \cdot \frac{T_1 - T_2}{L}$$

- Ο ρυθμός ροής ολικής θερμικής ενέργειας που προσφέρεται στη ράβδο:

$$\frac{\Delta Q_{ολ}}{\Delta t} = (m_{H_2O} \cdot c_{H_2O} + C_{\theta}) \frac{\Delta T_3(t)}{\Delta t}$$

Όπου m_{H_2O} η μάζα του νερού,

c_{H_2O} η ειδική θερμότητα του νερού

C_{θ} η θερμοχωρητικότητα του δοχείου.

- Η T_3 είναι η θερμοκρασία του τρίτου θερμοζεύγους της διάταξης.

- Ο ειδικός ρυθμός ροής θερμικής ενέργειας από το περιβάλλον:

$$\frac{\Delta Q_{περιβ}}{\Delta t} = (m_{H_2O} \cdot c_{H_2O} + C_{\theta}) \frac{\Delta \theta(t)}{\Delta t}$$

Όπου $\Delta \theta(t) = \theta(t) - \theta_{\theta}$,

$\theta(t)$ η μετρούμενη θερμοκρασία συναρτήσει του χρόνου

θ_{θ} η αρχική θερμοκρασία μόλις αφαιρέσω τον πάγο ($t=0$).



Πείραμα 2β
6/6/2024

Ηλεκτρική Αγωγιμότητα

Εισαγωγή

Θεωρία

- ❖ Θερμική αγωγιμότητα
- ❖ Ηλεκτρική αγωγιμότητα

Σκοπός

Διάταξη

- ❖ Θερμική
- ❖ Ηλεκτρική

Πειραματικά Δεδομένα

Ανάλυση

- ❖ Αποτελέσματα
- ❖ Σφάλματα

Σχολιασμός

Εφαρμόζοντας ένα εξωτερικό πεδίο, τα ηλεκτρόνια κινούνται προσανατολισμένα με την αντίθετη φορά του πεδίου και έτσι δημιουργείται ένα ρεύμα αγωγιμότητας όπου τα ηλεκτρόνια οδεύουν με μια μέση ταχύτητα $u_F = \ell / \tau$.

Μακροσκοπικά η ηλεκτρική αγωγιμότητα ενός μετάλλου ορίζεται από τον νόμο του Ohm: $J = \sigma E$

Όπου σ η αγωγιμότητα, J η πυκνότητα ρεύματος ως αποτέλεσμα εφαρμοζόμενου ηλεκτρικού πεδίου E .

Το μοντέλο του Sommerfeld προβλέπει την ηλεκτρική αγωγιμότητα με την παρομοίωση των ηλεκτρονίων ως ένα αέριο Fermi:

$$\sigma = \frac{ne^2\tau}{m} \quad (1/\text{Ohm m})$$

Πειραματικά ο συντελεστής ηλεκτρικής αγωγιμότητας μέσω του συντελεστή ειδικής αντίστασης ρ :

$$\rho = \frac{RA}{\Delta l}$$

Αντικαθιστώντας και από $R = V/I$, καταλήγουμε στον τρόπο που θα κινηθούμε πειραματικά ο οποίος μεταφράζεται μέσω της παρακάτω εξίσωσης:

$$\sigma = \frac{\Delta l}{A} \frac{I_\rho}{V_\rho}$$



Πείραμα 2β
6/6/2024

Νόμος Widemann-Franz

Από τον λόγο των δυο αγωγιμοτήτων που αναλύσαμε πιο πάνω, καταλήγουμε στον νόμο Widemann-Franz και στον αριθμό Lorentz , όπου κατά Sommerfeld :

$$\frac{\lambda}{\sigma} = \frac{\frac{n\pi^2 k_B^2 T \tau}{3m}}{ne^2 \tau} = \frac{\pi^2 k_B^2}{3e^2} T = LT$$

Και τελικά ο αριθμός Lorentz:

$$L = \frac{\pi^2 k_B^2}{3e^2} = 2.45 \times 10^{-8} \frac{Watts}{K^2} Ohm$$

Για να καταλήξουμε σε αυτή τη σχέση θεωρήσαμε τους χρόνους εφesuχασμού για την θερμική και ηλεκτρική αγωγιμότητα είναι ίσοι. Πράγμα που δεν ισχύει για κάθε θερμοκρασία , σε θερμοκρασίες μερικών δεκάδων Kelvin οι χρόνοι αυτοί φαίνονται διαφορετικοί .Εμάς όμως επειδή θα ασχοληθούμε με θερμοκρασίες από 0-100°C μας είναι αδιάφορο .

Πειραματικά ο τρόπος που θα καταλήξουμε στον αριθμό Lorentz είναι μέσω του παρακάτω λόγου:

$$\frac{\lambda}{\sigma T} = \frac{\frac{\frac{\partial Q}{\partial t}}{A \frac{T_2 - T_1}{L}}}{\frac{\Delta I I_T}{A V}} = \frac{\frac{\partial Q}{\partial t} V}{IT(T_2 - T_1)}$$

Για T θερμοκρασία δωματίου (T=293K).

Εισαγωγή

Θεωρία

- ❖ Θερμική αγωγιμότητα
- ❖ Ηλεκτρική αγωγιμότητα

Σκοπός

Διάταξη

- ❖ Θερμική
- ❖ Ηλεκτρική

Πειραματικά

Δεδομένα

Ανάλυση

- ❖ Αποτελέσματα
- ❖ Σφάλματα

Σχολιασμός



Πείραμα 2β
6/6/2024

Σκοπός Πειράματος

Στο πείραμα θα μετρήσουμε τον συντελεστή λ και τον συντελεστή σ για μια ράβδο χαλκού (Cu), έτσι ώστε να υπολογίσουμε τον συντελεστή **Lorenz**. Θα χρησιμοποιήσουμε δύο διαφορετικές πειραματικές διατάξεις για τον υπολογισμό του λ και του σ , οι οποίες περιγράφονται παρακάτω.

Εισαγωγή

Θεωρία

- ❖ Θερμική αγωγιμότητα
- ❖ Ηλεκτρική αγωγιμότητα

Σκοπός

Διάταξη

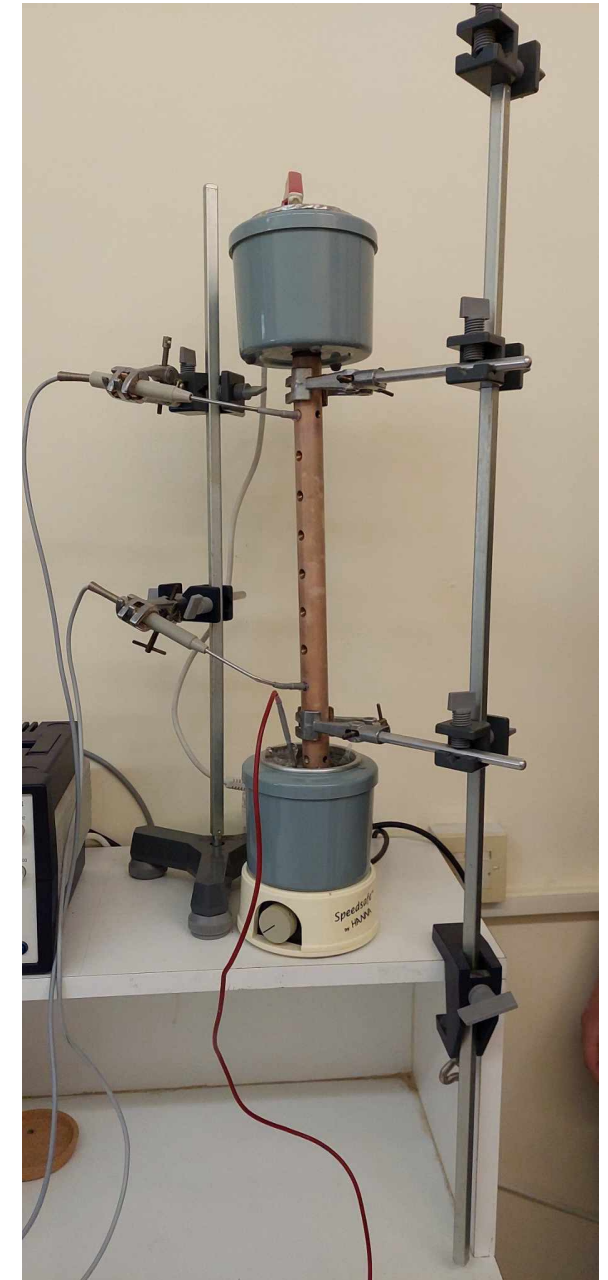
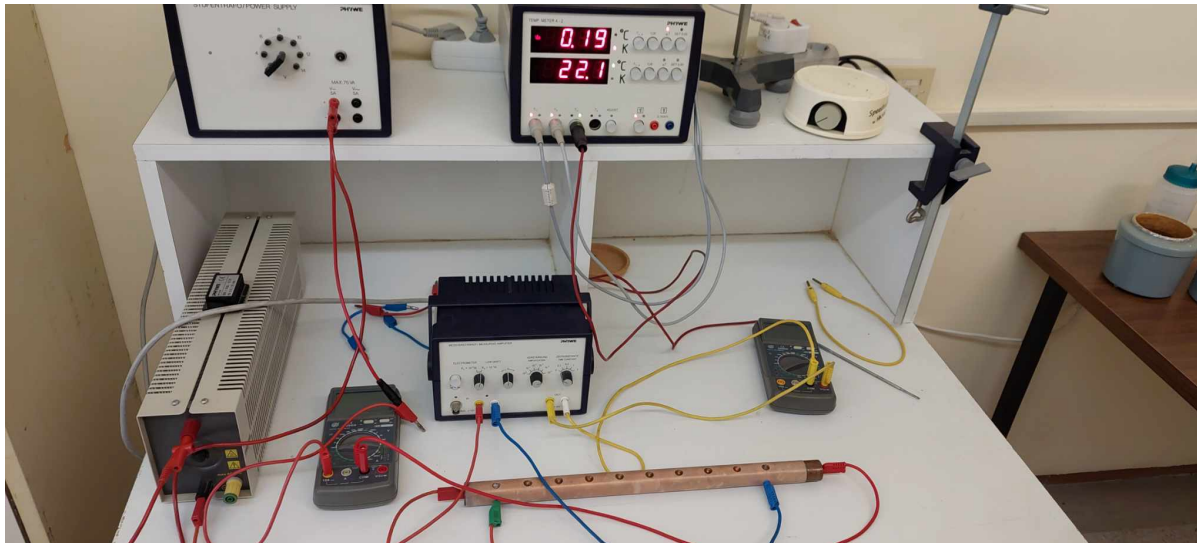
- ❖ Θερμική
- ❖ Ηλεκτρική

Πειραματικά Δεδομένα

Ανάλυση

- ❖ Αποτελέσματα
- ❖ Σφάλματα

Σχολιασμός





Πείραμα 2β
6/6/2024

Πείραμα 1. Θερμική Αγωγιμότητα

Εισαγωγή

Θεωρία

- ❖ Θερμική αγωγιμότητα
- ❖ Ηλεκτρική αγωγιμότητα

Σκοπός

Διάταξη

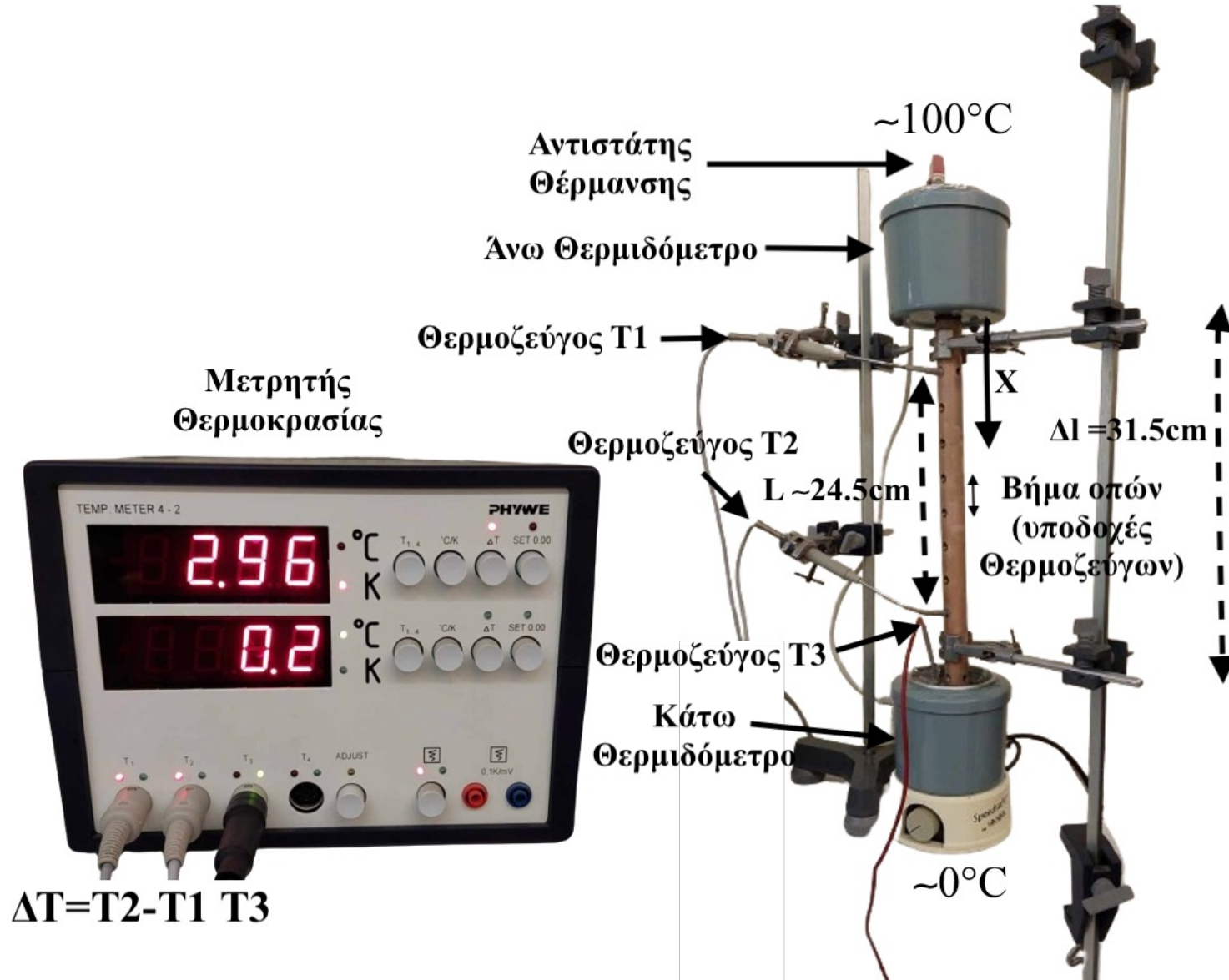
- ❖ Θερμική
- ❖ Ηλεκτρική

Πειραματικά Δεδομένα

Ανάλυση

- ❖ Αποτελέσματα
- ❖ Σφάλματα

Σχολιασμός





Πείραμα 2β
6/6/2024

Πείραμα 2. Ηλεκτρική Αγωγιμότητα

Εισαγωγή

Θεωρία

- ❖ Θερμική αγωγιμότητα
- ❖ Ηλεκτρική αγωγιμότητα

Σκοπός

Διάταξη

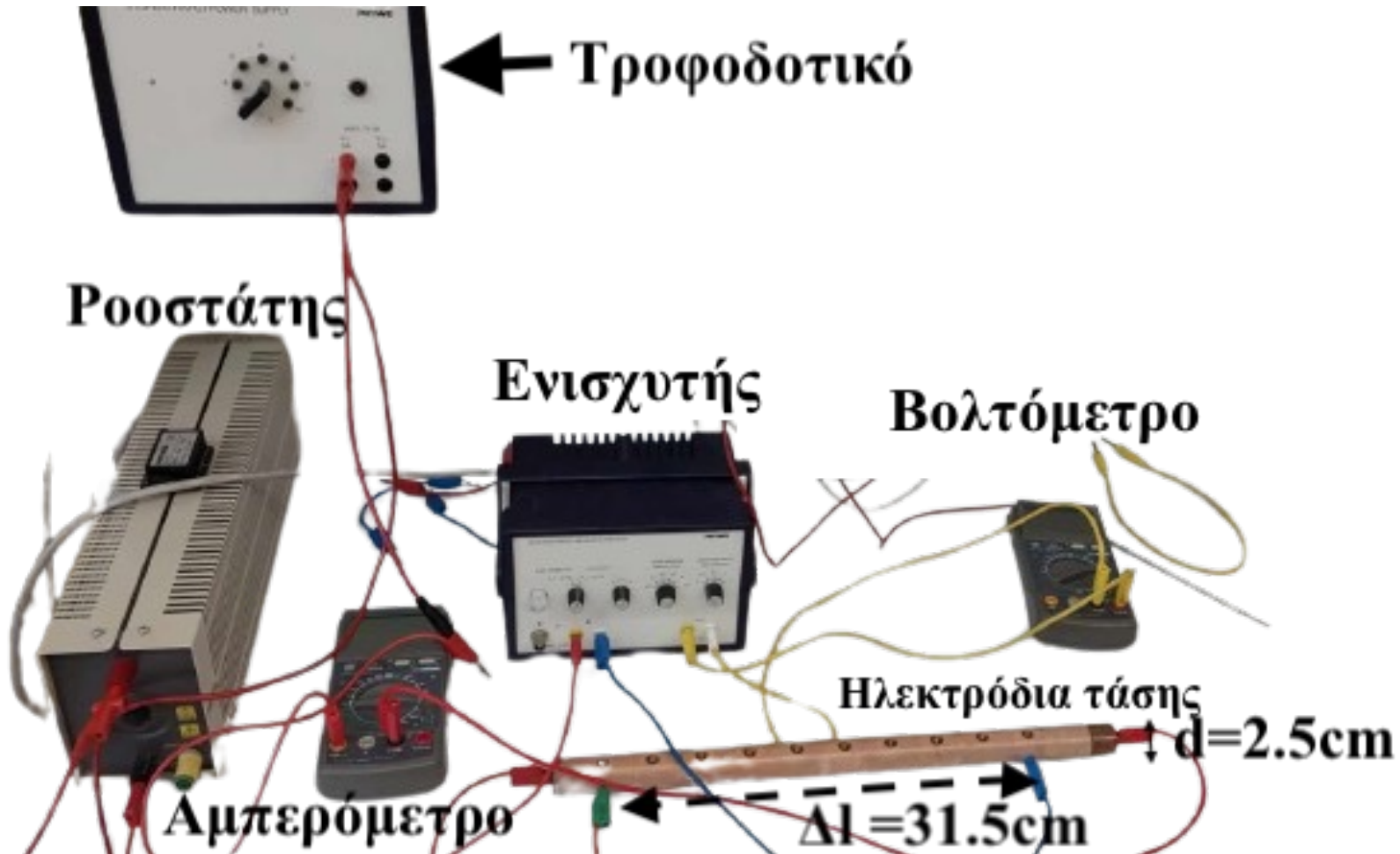
- ❖ Θερμική
- ❖ Ηλεκτρική

Πειραματικά Δεδομένα

Ανάλυση

- ❖ Αποτελέσματα
- ❖ Σφάλματα

Σχολιασμός





Πείραμα 2β

6/6/2024

Πειραματικά Δεδομένα Πρώτης Διάταξης.

Εισαγωγή

Θεωρία

- ❖ Θερμική αγωγιμότητα
- ❖ Ηλεκτρική αγωγιμότητα

Σκοπός

Διάταξη

- ❖ Θερμική
- ❖ Ηλεκτρική

Πειραματικά Δεδομένα

Ανάλυση

- ❖ Αποτελέσματα
- ❖ Σφάλματα

Σχολιασμός

Πειραματικά Δεδομένα Πρώτης Διάταξης.						
t(s)	$\Delta T(t)$	$\Delta T(t) - \Delta T_0$	$T_3(t) (^{\circ}C)$	$T_3(t) (K)$	$\theta(t) (^{\circ}C)$	$\theta(t) (K)$
0	10,25	10,05	1	274,15	1,4	274,55
30	10,17	9,97	1,1	274,25	1,5	274,65
60	9,97	9,77	1,2	274,35	1,5	274,65
90	9,62	9,42	1,3	274,45	1,6	274,75
120	9,28	9,08	1,4	274,55	1,7	274,85
150	8,95	8,75	1,6	274,75	1,8	274,95
180	8,75	8,55	1,7	274,85	1,8	274,95
210	8,59	8,39	1,8	274,95	1,8	274,95
240	8,38	8,18	1,9	275,05	1,9	275,05
270	8,29	8,09	2	275,15	1,9	275,05
300	8,2	8	2,1	275,25	1,9	275,05
330	8,09	7,89	2,2	275,35	2	275,15
360	8,05	7,85	2,3	275,45	2	275,15
390	8,01	7,81	2,4	275,55	2,1	275,25
420	8,05	7,85	2,5	275,65	2,1	275,25
450	8,09	7,89	2,6	275,75	2,2	275,35
480	8,12	7,92	2,7	275,85	2,2	275,35
510	8,15	7,95	2,8	275,95	2,2	275,35
540	8,17	7,97	3	276,15	2,3	275,45
570	8,17	7,97	3,1	276,25	2,3	275,45
600	8,12	7,92	3,4	276,55	2,3	275,45

Πίνακας 1: Μετρήσεις και μετατροπές πρώτου πειράματος.



Πείραμα 2β
6/6/2024

Πειραματικά Δεδομένα Δεύτερης Διάταξης.

Εισαγωγή

Θεωρία

- ❖ Θερμική αγωγιμότητα
- ❖ Ηλεκτρική αγωγιμότητα

Σκοπός

Διάταξη

- ❖ Θερμική
- ❖ Ηλεκτρική

Πειραματικά Δεδομένα

Ανάλυση

- ❖ Αποτελέσματα
- ❖ Σφάλματα

Σχολιασμός

Πειραματικά Δεδομένα Δεύτερης Διάταξης.				
V(V)	$I_{\rho}(A)$	$V_{\rho}(V)$	$V_{\rho,\pi}(V)$	$\sigma (\Omega^{-1}m^{-1})$
2	0,13	0,14	$0,14 \cdot 10^{-5}$	$5,96 \cdot 10^7$
4	0,46	0,92	$0,92 \cdot 10^{-5}$	$3,21 \cdot 10^7$
6	0,8	0,95	$0,95 \cdot 10^{-5}$	$5,40 \cdot 10^7$
8	1,14	1,23	$1,23 \cdot 10^{-5}$	$5,95 \cdot 10^7$
10	1,47	1,67	$1,67 \cdot 10^{-5}$	$5,65 \cdot 10^7$
12	1,8	1,91	$1,91 \cdot 10^{-5}$	$6,05 \cdot 10^7$
14	2,12	2,41	$2,41 \cdot 10^{-5}$	$5,64 \cdot 10^7$

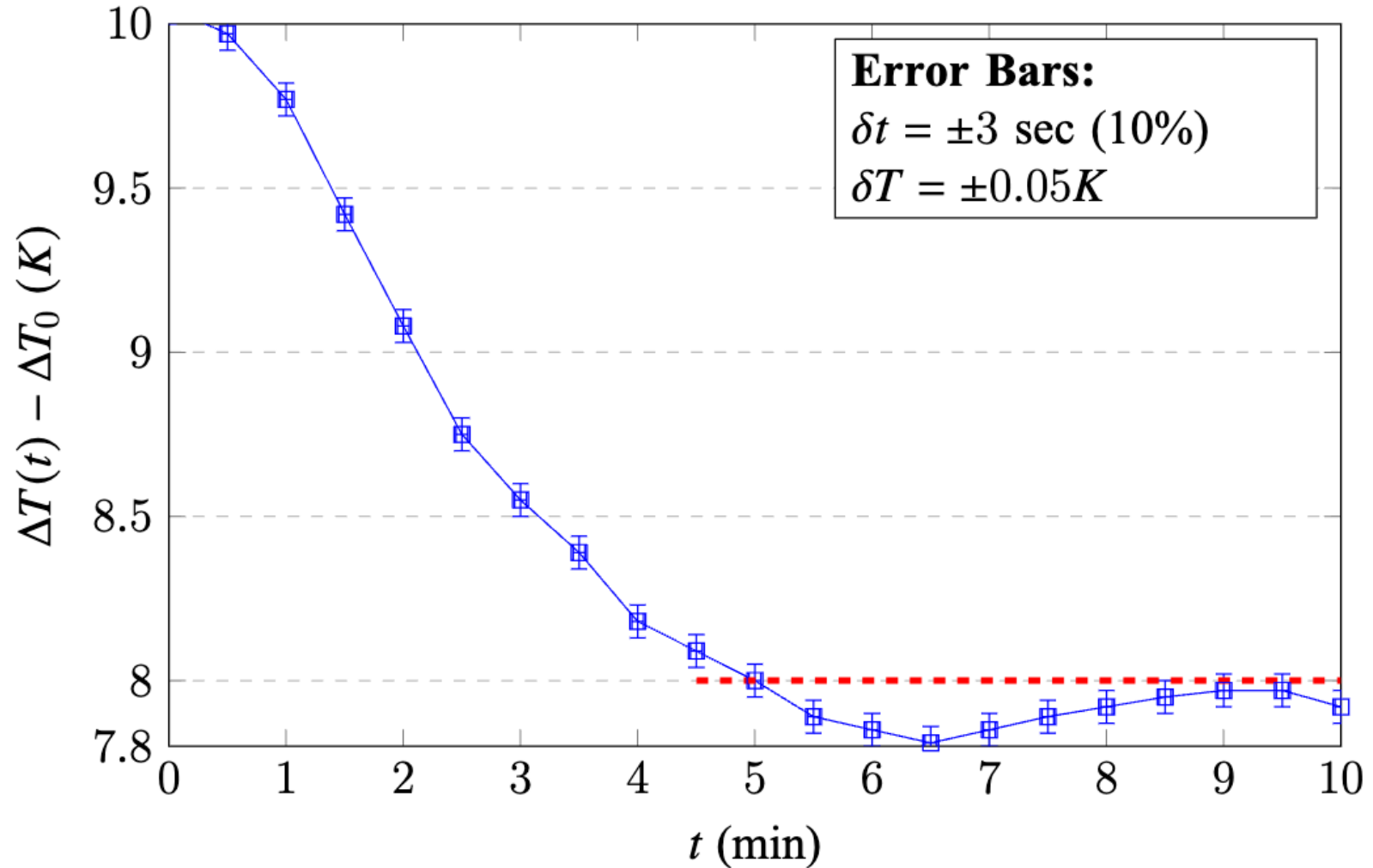
Πίνακας 2: Μετρήσεις, μετατροπές και υπολογισμοί του δεύτερου πειράματος.



Πείραμα 2β
5/6/2024

Γράφημα Μόνιμης Κατάστασης

Γράφημα Μόνιμης Κατάστασης



Εισαγωγή

Θεωρία

- ❖ Θερμική αγωγιμότητα
- ❖ Ηλεκτρική αγωγιμότητα

Σκοπός

Διάταξη

- ❖ Θερμική
- ❖ Ηλεκτρική

Πειραματικά

Δεδομένα

Ανάλυση

- ❖ Αποτελέσματα
- ❖ Σφάλματα

Σχολιασμός



Πείραμα 2β
5/6/2024

Γράφημα Κάτω Θερμιδόμετρο στη Μόνιμη Κατάσταση

Εισαγωγή

Θεωρία

- ❖ Θερμική αγωγιμότητα
- ❖ Ηλεκτρική αγωγιμότητα

Σκοπός

Διάταξη

- ❖ Θερμική
- ❖ Ηλεκτρική

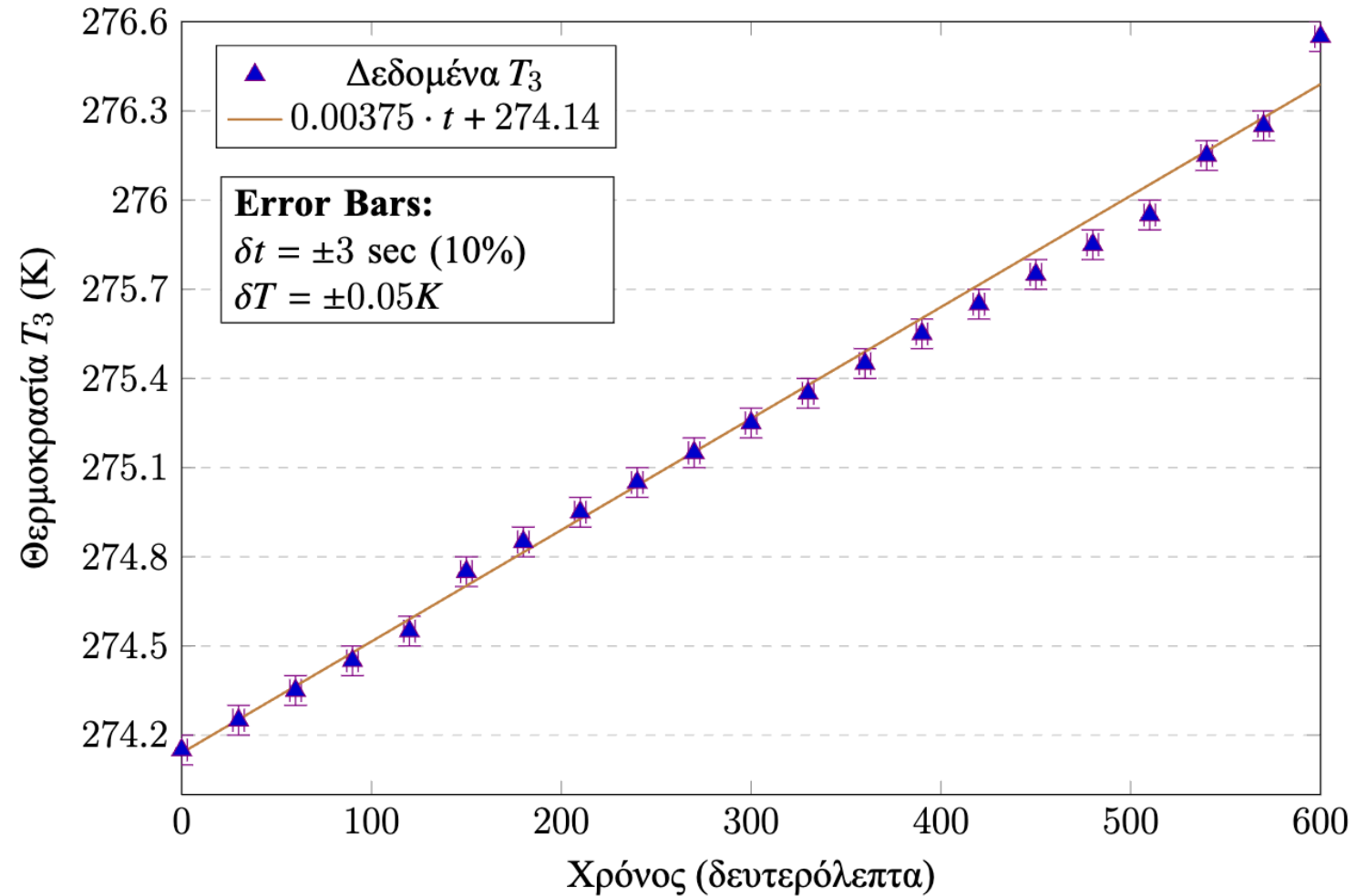
Πειραματικά Δεδομένα

Ανάλυση

- ❖ Αποτελέσματα
- ❖ Σφάλματα

Σχολιασμός

Γραφική παράσταση κάτω θερμιδόμετρου στη μόνιμη.





Πείραμα 2β

5/6/2024

Εισαγωγή

Θεωρία

- ❖ Θερμική αγωγιμότητα
- ❖ Ηλεκτρική αγωγιμότητα

Σκοπός

Διάταξη

- ❖ Θερμική
- ❖ Ηλεκτρική

Πειραματικά Δεδομένα

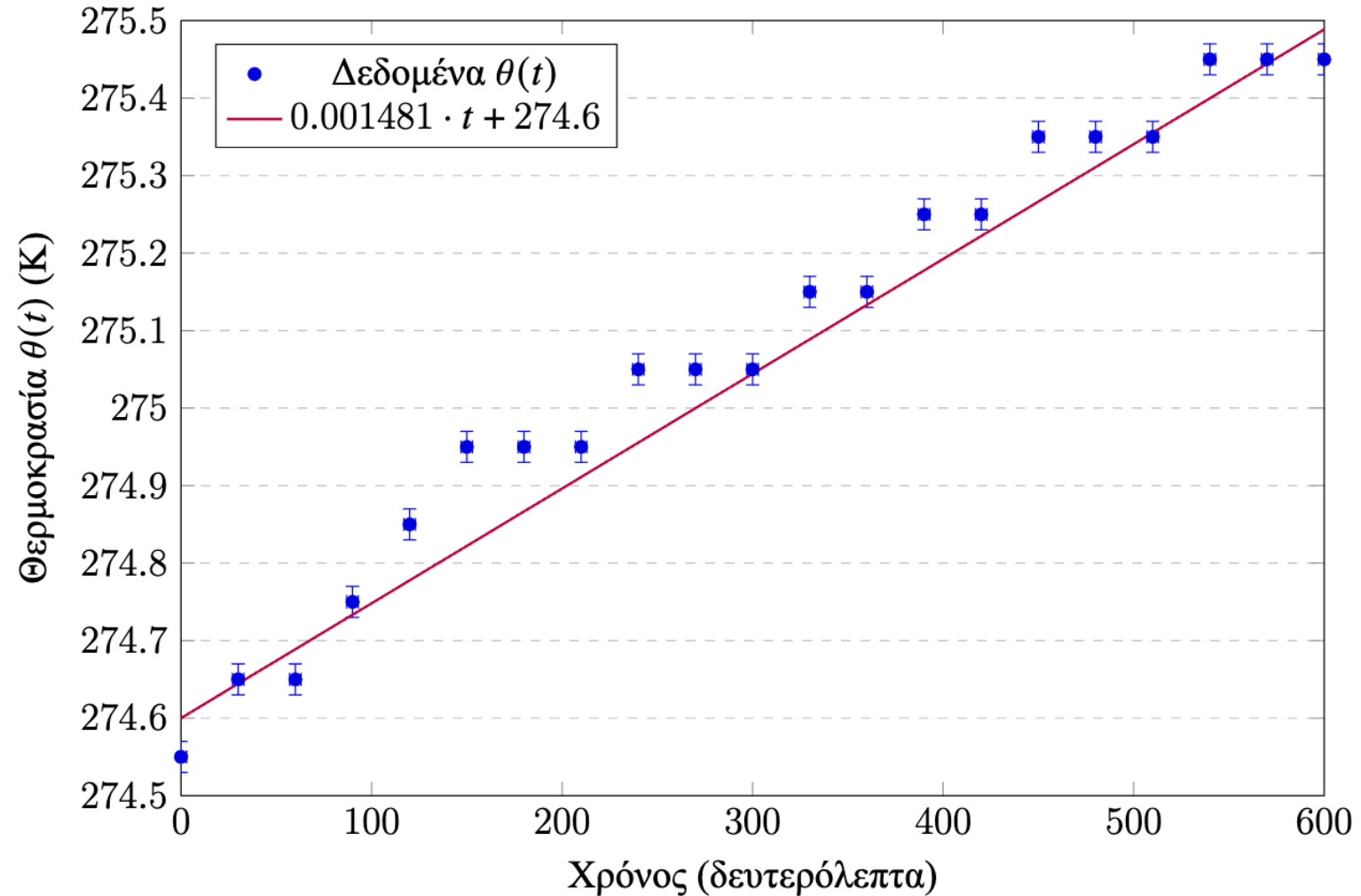
Ανάλυση

- ❖ Αποτελέσματα
- ❖ Σφάλματα

Σχολιασμός

Γράφημα Θερμιδόμετρου με Πάγο χωρίς Ράβδο

Γραφική παράσταση θερμιδόμετρου με πάγο χωρίς ράβδο.

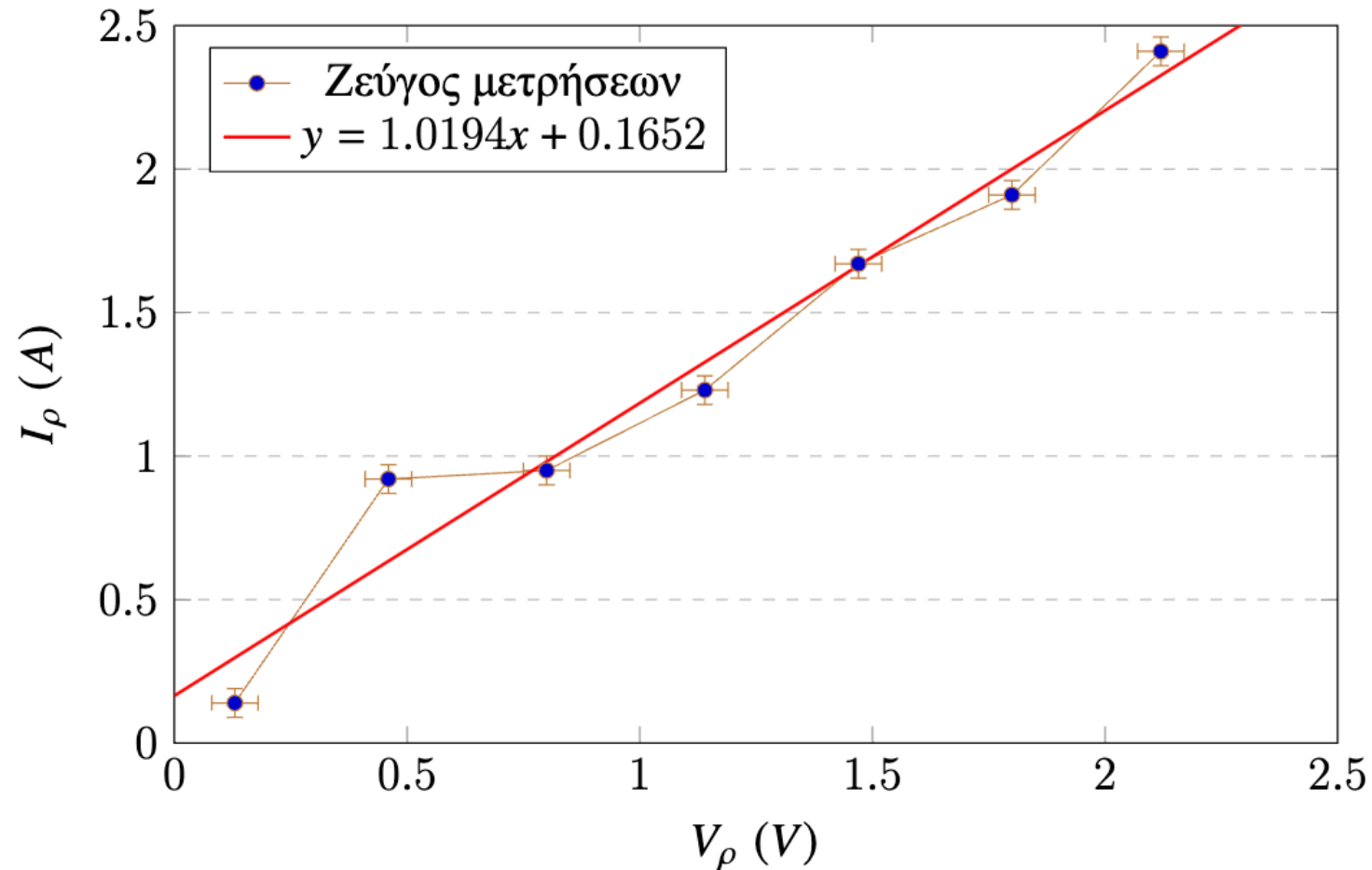




Πείραμα 2β
5/6/2024

Γράφημα για ίδιες Τάσεις Τροφοδοσίας

Ζεύγος τιμών για ίδιες τάσεις τροφοδοσίας.



Εισαγωγή

Θεωρία

- ❖ Θερμική αγωγιμότητα
- ❖ Ηλεκτρική αγωγιμότητα

Σκοπός

Διάταξη

- ❖ Θερμική
- ❖ Ηλεκτρική

Πειραματικά
Δεδομένα

Ανάλυση

- ❖ Αποτελέσματα
- ❖ Σφάλματα

Σχολιασμός



Πείραμα 2β
5/6/2024

Γραφήματα των $I_p(A)$ και $V_p(V)$

Εισαγωγή

Θεωρία

- ❖ Θερμική αγωγιμότητα
- ❖ Ηλεκτρική αγωγιμότητα

Σκοπός

Διάταξη

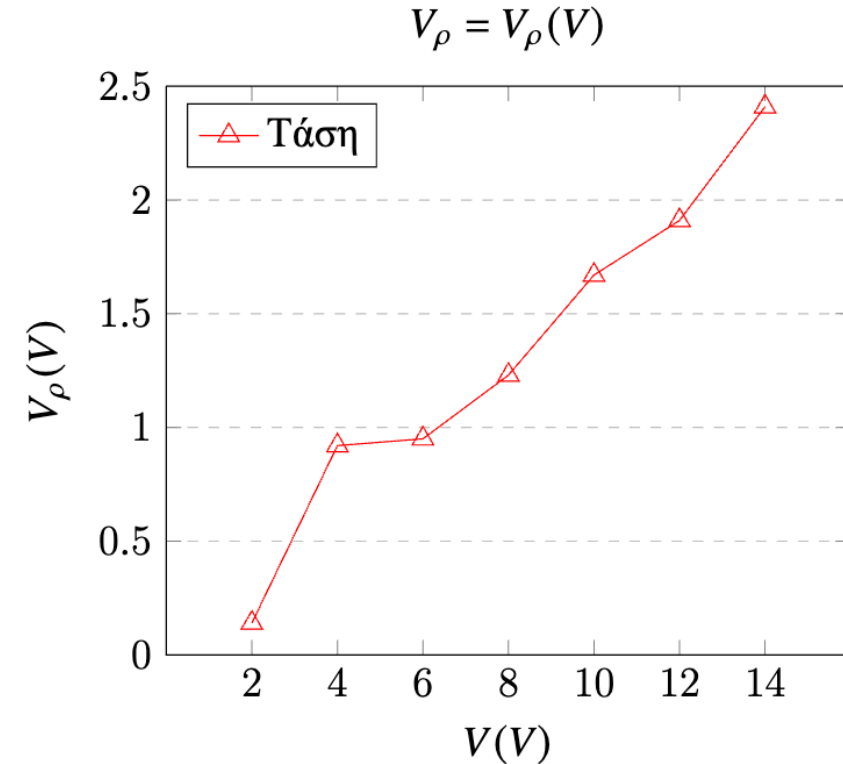
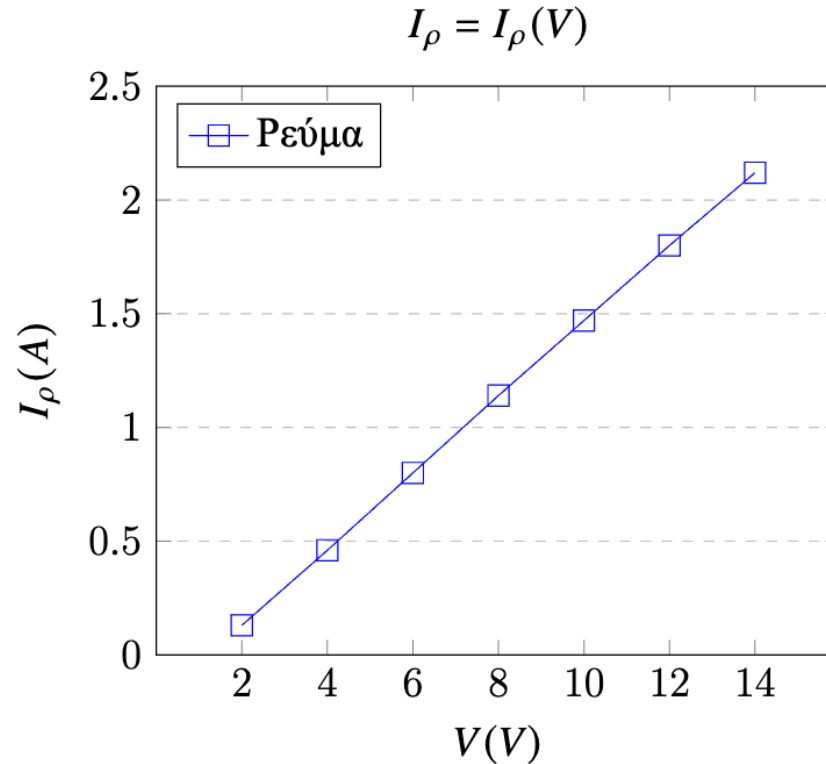
- ❖ Θερμική
- ❖ Ηλεκτρική

Πειραματικά Δεδομένα

Ανάλυση

- ❖ Αποτελέσματα
- ❖ Σφάλματα

Σχολιασμός





Πείραμα 2β
5/6/2024

Μετρούμενες Ποσότητες

Εισαγωγή

Θεωρία

- ❖ Θερμική αγωγιμότητα
- ❖ Ηλεκτρική αγωγιμότητα

Σκοπός

Διάταξη

- ❖ Θερμική
- ❖ Ηλεκτρική

Πειραματικά

Δεδομένα

Ανάλυση

- ❖ Αποτελέσματα
- ❖ Σφάλματα

Σχολιασμός

- Ολικό ρεύμα θερμικής ενέργειας δια της ράβδου: $\frac{dQ_{ολ}}{dt} = 5.98 \times 10^7 \pm 1.422 W$
- Ειδικός ρυθμός ροής θερμικής ενέργειας από το περιβάλλον: $\frac{dQ_{περ}}{dt} = 2.431 \times 10^7 \pm 0.09 W$
- Ρεύμα θερμικής ενέργειας δια μέσου της ράβδου: $\frac{dQ_{αγωγ}}{dt} = 3.503 \times 10^7 \pm 10.07 W$
- Συντελεστής θερμικής αγωγιμότητας: $\lambda = 267.8 \pm 17.5 W \cdot m^{-1} \cdot K^{-1}$
- Συντελεστής ηλεκτρικής αγωγιμότητας: $\sigma = 5.647 \times 10^7 \pm 0.514 \Omega^{-1} m^{-1}$
- Μέση τιμή συντελεστή ηλεκτρικής: $\langle \sigma \rangle = 5.410 \times 10^7 \pm 0.422 \Omega^{-1} m^{-1}$
- Συντελεστής Lorenz: $L = 1.58 \times 10^{-8} \pm 0.27 \frac{W}{K^2} \Omega$



Πείραμα 2β
5/6/2024

Αριθμητική Προσομοίωση της Στάσιμης Κατάστασης

Θέλουμε να λύσουμε μια εξίσωση Laplace στο XY επίπεδο (σαν διατομή της ράβδου)

$$\frac{\partial^2 T}{\partial x^2} + \frac{\partial^2 T}{\partial y^2} = 0$$

Πάμε από μια διαφορική εξίσωση σε μια εξίσωση πεπερασμένων διαφορών:

$$\frac{T_{i+1,j} - 2T_{i,j} + T_{i-1,j}}{(\Delta x)^2} + \frac{T_{i,j+1} - 2T_{i,j} + T_{i,j-1}}{(\Delta y)^2} = 0$$

Η εξίσωση μπορεί να αναδιαταχθεί για να απομονώσουμε το $T_{i,j}$

$$T_{i,j} = \frac{T_{i+1,j} + T_{i-1,j} + T_{i,j+1} + T_{i,j-1}}{4}$$

Χρησιμοποιούμε την επαναληπτική μέθοδο Jacobi για να ενημερώνουμε τις θερμοκρασίες σε κάθε σημείο του πλέγματος μέχρι να επιτευχθεί σύγκλιση:

$$T_{i,j}^{(n+1)} = \frac{1}{4} (T_{i+1,j}^{(n)} + T_{i-1,j}^{(n)} + T_{i,j+1}^{(n)} + T_{i,j-1}^{(n)})$$

Σταματάμε την αναδρομική ακολουθία όταν πετύχουμε ικανοποιητική σύγκλιση

$$\max |T^{(n+1)} - T^{(n)}| < \text{tolerance}$$

Εισαγωγή

Θεωρία

- ❖ Θερμική αγωγιμότητα
- ❖ Ηλεκτρική αγωγιμότητα

Σκοπός

Διάταξη

- ❖ Θερμική
- ❖ Ηλεκτρική

Πειραματικά
Δεδομένα

Ανάλυση

- ❖ Αποτελέσματα
- ❖ Σφάλματα

Σχολιασμός



Πείραμα 2β

5/6/2024

Αριθμητική Προσομοίωση της Στάσιμης Κατάστασης

Εισαγωγή

Θεωρία

- ❖ Θερμική αγωγιμότητα
- ❖ Ηλεκτρική αγωγιμότητα

Σκοπός

Διάταξη

- ❖ Θερμική
- ❖ Ηλεκτρική

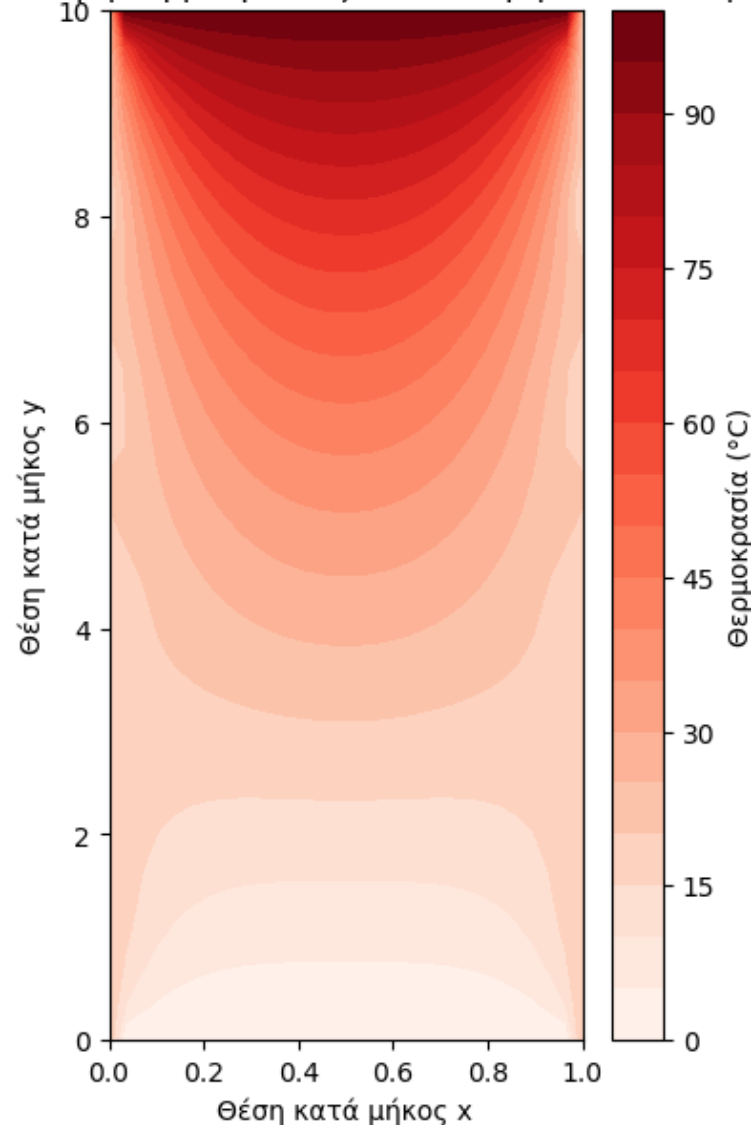
Πειραματικά Δεδομένα

Ανάλυση

- ❖ Αποτελέσματα
- ❖ Σφάλματα

Σχολιασμός

Κατανομή θερμοκρασίας σε σταθερή κατάσταση



$$T[:, 0] = T_0 \quad (\text{αριστερό άκρο})$$

$$T[:, -1] = T_L \quad (\text{δεξί άκρο})$$

$$T[0, :] = T_{\text{side}} \quad (\text{κάτω άκρο})$$

$$T[-1, :] = T_{\text{side}} \quad (\text{πάνω άκρο})$$

$$j_{\text{start}} = \left\lfloor \frac{y_{\text{pos}} - \text{heat_thickness}/2}{\Delta y} \right\rfloor$$
$$j_{\text{end}} = \left\lceil \frac{y_{\text{pos}} + \text{heat_thickness}/2}{\Delta y} \right\rceil$$

$$T[0, j_{\text{start}} : j_{\text{end}} + 1] = T_{\text{heat}} \quad (\text{κάτω άκρο})$$

$$T[-1, j_{\text{start}} : j_{\text{end}} + 1] = T_{\text{heat}} \quad (\text{πάνω άκρο})$$





Πείραμα 2β
5/6/2024

Σφάλματα σε σχέση με την απόσταση.

Εισαγωγή

Θεωρία

- ❖ Θερμική αγωγιμότητα
- ❖ Ηλεκτρική αγωγιμότητα

Σκοπός

Διάταξη

- ❖ Θερμική
- ❖ Ηλεκτρική

Πειραματικά Δεδομένα

Ανάλυση

- ❖ Αποτελέσματα
- ❖ Σφάλματα

Σχολιασμός

$$\lambda = \frac{1}{A} \cdot \frac{L}{\Delta T} \left(\frac{\Delta Q_{ολ}}{\Delta t} - \frac{\Delta Q_{περ}}{\Delta t} \right)$$

$$\frac{\partial \lambda}{\partial L} = \frac{\lambda}{L}$$

Η διάδοση σφάλματος του συντελεστή αγωγιμότητας:

$$\frac{\partial \lambda}{\partial \Delta T} = -\frac{\lambda}{\Delta T}$$

$$\delta \lambda = \sqrt{\left(\frac{\partial \lambda}{\partial L} \delta L \right)^2 + \left(\frac{\partial \lambda}{\partial \Delta T} \delta(\Delta T) \right)^2}$$

Προκύπτει το σφάλμα και το σχετικό σφάλμα:

$$\delta \lambda = \sqrt{\left(\frac{\lambda}{L} \delta L \right)^2 + \left(\frac{\lambda}{\Delta T} \delta(\Delta T) \right)^2} \quad \delta \lambda / \lambda = \sqrt{\left(\frac{\delta L}{L} \right)^2 + \left(\frac{\delta(\Delta T)}{\Delta T} \right)^2}$$



Πείραμα 2β
5/6/2024

Σφάλματα σε σχέση με την απόσταση.

$$\sigma = \frac{\Delta l}{A} \cdot \frac{I_\rho}{V_\rho}$$

$$L = \frac{\lambda}{\sigma T}$$

Εισαγωγή

Θεωρία

- ❖ Θερμική αγωγιμότητα
- ❖ Ηλεκτρική αγωγιμότητα

Σκοπός

Διάταξη

- ❖ Θερμική
- ❖ Ηλεκτρική

Πειραματικά

Δεδομένα

Ανάλυση

- ❖ Αποτελέσματα
- ❖ Σφάλματα

Σχολιασμός

Η διάδοση σφάλματος του συντελεστή σ και L δίνει:

$$\delta\sigma = \sqrt{\left(\frac{\partial\sigma}{\partial\Delta l}\delta\Delta l\right)^2 + \left(\frac{\partial\sigma}{\partial I_\rho}\delta I_\rho\right)^2 + \left(\frac{\partial\sigma}{\partial V_\rho}\delta V_\rho\right)^2} = \sigma \cdot \sqrt{\left(\frac{\delta I_\rho}{I_\rho}\right)^2 + \left(\frac{\delta\Delta l}{\Delta l}\right)^2 + \left(\frac{\delta V_\rho}{V_\rho}\right)^2}$$

$$\delta L = \sqrt{\left(\frac{\partial L}{\partial\lambda} \cdot \delta\lambda\right)^2 + \left(\frac{\partial L}{\partial\sigma} \cdot \delta\sigma\right)^2 + \left(\frac{\partial L}{\partial T} \cdot \delta T\right)^2} \approx L \sqrt{\left(\frac{\delta\lambda}{\lambda}\right)^2 + \left(\frac{\delta\sigma}{\sigma}\right)^2}$$

Η διάδοση σφάλματος σε σχέση με την απόσταση για αυτού του τύπου τις συναρτήσεις:

$$\delta(ax) = ax \sqrt{\frac{\gamma}{x^2} + \beta} = a \sqrt{\gamma + \beta \cdot x^2} \Rightarrow \delta(ax)_{rel} = \frac{\delta(ax)}{ax} = \sqrt{\frac{\gamma}{x^2} + \beta} \Rightarrow x \nearrow \Rightarrow \delta(ax)_{rel} \searrow x$$



Πείραμα 2β

5/6/2024

Σφάλματα σε σχέση με την απόσταση.

Αλλά εδώ και οι δύο ποσότητες που λαμβάνουμε υπ' όψιν έχουν εξάρτηση από το L .

$$\Delta T = \frac{\Delta T_{exp} \cdot L_{min/max}}{L_{exp}} = 34.45 \cdot L$$

προκύπτει το σφάλμα να είναι η σταθερή συνάρτηση,

$$\delta \lambda = 873 \cdot \frac{x}{100} \sqrt{\left(\frac{2}{x}\right)^2 + \left(\frac{0.05}{34.45 \cdot x}\right)^2}$$

Παράδειγμα για ακραία L $\delta \lambda(L_{min}) = 17.46(W/mK)$, $\delta \lambda(L_{max}) = 17.5(W/mK)$

Για παράδειγμα αν είχαμε και άλλες ποσότητες στη ρίζα $V_\rho = \rho \frac{\Delta l}{A} I_\rho = 3.42 \cdot \Delta l \cdot I_\rho$

$$\delta \sigma = \sigma \cdot \sqrt{\left(\frac{\delta I_\rho}{I_\rho}\right)^2 + \left(\frac{\delta \Delta l}{\Delta l}\right)^2 + \left(\frac{\delta V_\rho}{V_\rho}\right)^2} = 595.7 \sqrt{\left(\frac{0.01}{1.58}\right)^2 + \left(\frac{0.01 \cdot 0.315}{x \cdot 1.36}\right)^2 + \left(\frac{0.02 \cdot 1.58 \cdot 3.42}{x \cdot 1.36}\right)^2}$$

Παράδειγμα για ακραία Δl , προκύπτει η επιλογή μεγαλύτερων αποστάσεων οδηγεί σε ακριβέστερα αποτελέσματα.

$$\delta \sigma(\Delta l_{min}) = 14.04 \cdot 10^8 \Omega^{-1} m^{-1} \text{ και } \delta \sigma(\Delta l_{max}) = 4.06 \cdot 10^8 \Omega^{-1} m^{-1}$$

Εισαγωγή

Θεωρία

- ❖ Θερμική αγωγιμότητα
- ❖ Ηλεκτρική αγωγιμότητα

Σκοπός

Διάταξη

- ❖ Θερμική
- ❖ Ηλεκτρική

Πειραματικά
Δεδομένα

Ανάλυση

- ❖ Αποτελέσματα
- ❖ Σφάλματα

Σχολιασμός



Πείραμα 2β
5/6/2024

Συμπεράσματα και Σχόλια

Ποσοστό του τελικού dQ/dt : $\Pi\% \left(\frac{dQ_{\text{περ}}}{dt} \right) = 39.5\%$ $\Pi\% \left(\frac{dQ_{\text{αγωγ}}}{dt} \right) = 60.5\%$

Απόκλιση από την τιμή της βιβλιογραφίας:

$$\Pi\%(\lambda) = 44.4\%$$

$$\Pi\%(\sigma) = 9\%$$

$$\Pi\%(L) = 44.8\%$$

Συντελεστής Λορέντζ. Η απόκλιση του συντελεστή κατά 44% είναι κάτι που περιμέναμε λόγω των αποκλίσεων των άλλων δύο μεγεθών.

- Τα γραφήματα παρουσιάζουν αναμενόμενη γραμμική συμπεριφορά όπου μπορούμε να υπολογίσουμε από τους ρυθμούς μεταβολής τις αντίστοιχες ισχύς.
- Το πείραμα έχει σημαντικά περιθώρια βελτίωσης ειδικά στο πρώτο μέρος. Ο περιορισμός των θερμικών απωλειών είναι το σημείο που θα πρέπει να εστιαστεί περισσότερο η μελλοντική μας μελέτη. Περιορίζοντας και συνυπολογίζοντας τις απώλειες από τα άκρα και τα πλαϊνά τοιχώματα της ράβδου.

Τα δύο πειράματα φανερώνουν ότι η θεωρητική περιγραφή μπορεί να επιβεβαιωθεί αλλά όχι με ικανοποιητική ακρίβεια.

Εισαγωγή

Θεωρία

- ❖ Θερμική αγωγιμότητα
- ❖ Ηλεκτρική αγωγιμότητα

Σκοπός

Διάταξη

- ❖ Θερμική
- ❖ Ηλεκτρική

Πειραματικά Δεδομένα

Ανάλυση

- ❖ Αποτελέσματα
- ❖ Σφάλματα

Σχολιασμός



Πείραμα 2β
5/6/2024

Παράρτημα Α. Ανάλυση Δεδομένων

Εισαγωγή

Θεωρία

- ❖ Θερμική αγωγιμότητα
- ❖ Ηλεκτρική αγωγιμότητα

Σκοπός

Διάταξη

- ❖ Θερμική
- ❖ Ηλεκτρική

Πειραματικά Δεδομένα

Ανάλυση

- ❖ Αποτελέσματα
- ❖ Σφάλματα

Σχολιασμός

Πειραματικά και Βιβλιογραφικά Δεδομένα Πρώτης Διάταξης.				
$C_{H_2O} (J/grK)$	$C_{\theta} (J/K)$	$m_{H_2O} (gr)$	$L(m)$	$\Delta T_{avg} (K)$
4.18	78	363	0.25	8,44
Σφάλματα ποσοτήτων.				
$\delta C_{H_2O} (J/grK)$	$\delta C_{\theta} (J/K)$	$\delta m_{H_2O} (gr)$	$\delta L(m)$	$\delta(\Delta T_{avg}) (K)$
1.05	19.5	0.5	0.02	0.05
Πειραματικά και Βιβλιογραφικά Δεδομένα Πρώτης Διάταξης.				
$d(m)$	$A(m^2)$	$\Delta T_0 (K)$	$dT_3/dt (K/s)$	$d\theta(t)/dt (K/s)$
0.025	0.000491	0.2	0.00375	0.00148
Υπολογισμός ειδικού ρεύματος θερμικής ενέργειας.				
$\Delta Q_{ολ}/\Delta t (W)$	$\Delta Q_{περ}/\Delta t (W)$	$dQ_{αγωγ}/dt (W)$	Π% αγωγού	Π% περιβ.
5.98	2.36	3.62	60.5	39.5
Υπολογισμός συντελεστή θερμικής αγωγιμότητας Χαλκού.				
$\lambda_{Cu} (W/mK)$ Βιβλ.	$\lambda_{Cu} (W/mK)$ Πειρ.	$\delta \lambda (W/mK)$	Σχετικό Σφάλμα	$(\lambda_{the} - \lambda_{exp})/\lambda_{the}$
385-401	214	17.5	8.2%	44.4%
Υπολογισμός συντελεστή ηλεκτρικής αγωγιμότητας Χαλκού.				
$\rho_{Cu} (\Omega m)$ θεωρ.	$R (\Omega)$	$< \sigma_{Cu} > (\Omega^{-1}m^{-1})$	$\sigma_{Cu}, R \approx 11\mu\Omega$	$\sigma_{Cu} (\Omega^{-1}m^{-1})$ θεωρ.
$1.68 \cdot 10^{-8}$	$11 \cdot 10^{-6}$	$5.41 \cdot 10^7$	$5.83 \cdot 10^7$	$5.95 \cdot 10^7$
Σφάλματα και αποκλίσεις.				
STDEV	$\delta \sigma$	$(\sigma_{the} - \sigma_{exp})/\sigma_{the}$	$\rho_{Cu} (\Omega m)$ θεωρ.	$\delta \sigma_{rel}$
$1 \cdot 10^7$	$4.06 \cdot 10^6$	9%	$0.6 \cdot 10^{-8}$	7%
Υπολογισμός σταθεράς του Lorentz.				
$L_{the}(293K) (W\Omega/K^2)$	$L(293K) (W\Omega/K^2)$	$(L_{the} - L_{exp})/L_{the}$	δL	δL_{rel}
$2.45 \cdot 10^{-8}$	$1.35 \cdot 10^{-8}$	44.8 %	$0.27 \cdot 10^{-8}$	20%

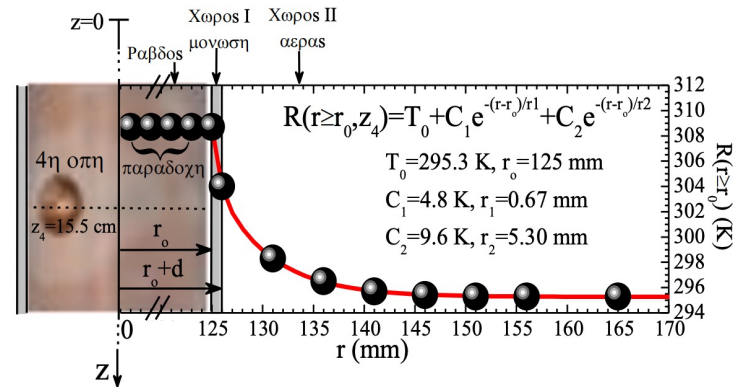
Πίνακας 3: Συγκεντρωτικά όλα τα στοιχεία των πειραμάτων που υπολογίστηκαν.



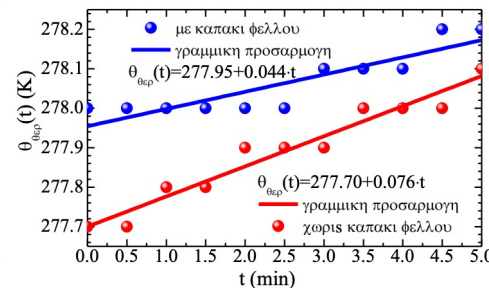
Παράρτημα Β. Ρεαλιστικότερη αντιμετώπιση

Η διαφορά της τιμής θερμικής αγωγιμότητας οφείλεται σε παράγοντες όπως

- Απώλειες που αγνοήσαμε και διαφυγή θερμότητας στον περιβάλλοντα χώρο
Π.χ. από τα θερμιδόμετρα και από την πλευρική επιφάνεια.
- Η διαφορά θερμοκρασίας Δ στη στάσιμη κατάσταση είναι πολύ μικρότερη από αυτή που θα θέλαμε. Αυτό οφείλεται και στην μεταφορά της θερμότητας από την πάνω πηγή στη ράβδο (καρφί: συστηματικά σφάλματα στη μεταφορά θερμότητας από την πηγή στη ράβδο.)



Ανταλλαγή θερμότητας ανάμεσα στη ράβδο και στο περιβάλλον μέσω της πλευρικής επιφάνειας, λόγω της ατελούς θερμικής μόνωσης



Ανταλλαγή θερμότητας ανάμεσα στο κάτω θερμιδόμετρο και στο περιβάλλον, μέσω της ελεύθερης άνω επιφάνειάς του

Εισαγωγή

Θεωρία

- ❖ Θερμική αγωγιμότητα
- ❖ Ηλεκτρική αγωγιμότητα

Σκοπός

Διάταξη

- ❖ Θερμική
- ❖ Ηλεκτρική

Πειραματικά Δεδομένα

Ανάλυση

- ❖ Αποτελέσματα
- ❖ Σφάλματα

Σχολιασμός



Βιβλιογραφία.

Βιβλιογραφία.

- [Bλ1] Εργαστηριακός Οδηγός Κατεύθυνσης Φυσικής Συμπυκνωμένης ύλης 2020.
[Bλ2] Εισαγωγή στη φυσική στερεάς κατάστασης. Kittel. Έκδοση 5, Πνευματικός.
[Bλ3] Φυσική στερεάς κατάστασης, Ashcroft, Mermin, Πνευματικός.
[Bλ4] Φυσική στερεάς κατάστασης, Ibach Harald, Lüch Hans, ZHTH.

Αναφορές.

- [1] Οδηγίες για το Πείραμα 2β εργαστηριακού οδηγού.
[2] Thermal conductivity and resistivity, άρθρο Wikipedia.
[3] Tuttle, J., Canavan, E. , & DiPirro, M. (2010). Thermal and electrical conductivity measurements of CDA 510 phosphor bronze. AIP Conference Proceedings, 1219, 55-62.
[4] Stojanovic, N., Maithripala, D. H. S., Berg, J. M., & Holtz, M. (2010). Thermal conductivity in metallic nanostructures at high temperature: Electrons, phonons, and the Wiedemann-Franz law. Physical Review B, 82(7), 075418.
[5] Devanathan, V. (2021). The Wiedemann-Franz Law for Electrical and Thermal Conduction in Metals. Journal of Chennai Academy of Sciences, 4, 1-26.

Μετρήσεις-Δεδομένα.

- [Data-1]: Πρώτο σετ μετρήσεων set1.txt
[Data-2]: Δεύτερο σετ μετρήσεων set2.txt

Εισαγωγή

Θεωρία

- ❖ Θερμική αγωγιμότητα
- ❖ Ηλεκτρική αγωγιμότητα

Σκοπός

Διάταξη

- ❖ Θερμική
- ❖ Ηλεκτρική

Πειραματικά Δεδομένα

Ανάλυση

- ❖ Αποτελέσματα
- ❖ Σφάλματα

Σχολιασμός



Εισαγωγή

Θεωρία

- ❖ Θερμική αγωγιμότητα
- ❖ Ηλεκτρική αγωγιμότητα

Σκοπός

Διάταξη

- ❖ Θερμική
- ❖ Ηλεκτρική

Πειραματικά Δεδομένα

Ανάλυση

- ❖ Αποτελέσματα
- ❖ Σφάλματα

Σχολιασμός

Ευχαριστούμε για την προσοχή σας!